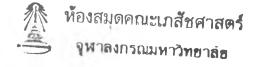
การประยุกต์ใช้เทคโนโลยีการวิเคราะห์กระบวนการในการเตรียมผงแห้ง ของยาอะชิโทรมัยชินแบบกลบรส

นายธีรวุฒิ ชมเขย



วิทยานิพนธ์นี้เป็นส่วนหนึ่งของการศึกษาตามหลักสูตรปริญญาเภสัชศาสตรมหาบัณฑิต สาขาวิชาเภสัชอุตสาหกรรม ภาควิชาวิทยาการเภสัชกรรมและเภสัชอุตสาหกรรม คณะเภสัชศาสตร์ จุฬาลงกรณ์มหาวิทยาลัย ปีการศึกษา 2556 ลิขสิทธิ์ของจุฬาลงกรณ์มหาวิทยาลัย



APPLICATION OF PROCESS ANALYTICAL TECHNOLOGY IN THE PREPARATION OF TASTE-MASKED AZITHROMYCIN DRY POWDER

Mr. Teerawut Chomchoey

718429995

A Thesis Submitted in Partial Fulfillment of the Requirements

for the Degree of Master of Science in Pharmacy Program in Industrial Pharmacy

Department of Pharmaceutics and Industrial Pharmacy

Faculty of Pharmaceutical Sciences

Chulalongkorn University

Academic Year 2013

Copyright of Chulalongkorn University

TECHNOLOGY IN THE PREPARATION OF TASTE-

MASKED AZITHROMYCIN DRY POWDER

By Mr. Teerawut Chomchoey

Field of Study Industrial Pharmacy

Thesis Advisor Narueporn Sutanthavibul, Ph.D.
Thesis Co-Advisor Jittima Chatchawalsaisin, Ph.D.

Accepted by the Faculty of Pharmaceutical Sciences, Chulalongkorn University in Partial Fulfillment of the Requirements for the Master's Degree

Dean of the Faculty of Pharmaceutical Sciences (Assistant Professor Rungpetch Sakulbumrungsil, Ph.D.)

THESIS COMMITTEE	
Kerbroom lyr	Chairman
(Associate Professor Parkpoom Tengami	nuay, Ph.D.)
M. Subittake	Thesis Advisor
(Narueporn Sutanthavibul, Ph.D.)	Thesis Co-Adviso
(Jittima Chatchawalsaisin, Ph.D.)	External Examine
(Associate Professor Pot Rulvanich, Ph.D	.)
	External Examine
(Chirayi Bayitranok Ph.D.)	

(Warunee Thanapase)

//) ax will External Examiner



ธีรวุฒิ ชมเชย : การประยุกต์ใช้เทคโนโลยีการวิเคราะห์กระบวนการในการเตรียมผง แห้งของยาอะซิโทรมัยขึ้นแบบกลบรส. (APPLICATION OF PROCESS ANALYTICAL TECHNOLOGY IN THE PREPARATION OF TASTE-MASKED AZITHROMYCIN DRY POWDER) อ.ที่ปรึกษาวิทยานิพนธ์หลัก: อ. ภญ. ดร.นฤพร สุตัณฑวิบูลย์, อ.ที่ ปรึกษาวิทยานิพนธ์ร่วม: อ. ภญ. ดร.จิตติมา ชัชวาลย์สายสินธ์, 99 หน้า.

Near-Infrared spectroscopy (NIRs) เป็นเครื่องมือวิเคราะห์ที่นำมาใช้อย่าง กว้างขวางในเทคโนโลยีการวิเคราะห์กระบวนการ ทั้งนี้จัดเป็นเทคนิคการวิเคราะห์ที่รวดเร็วและ ไม่ทำลายตัวอย่าง ตัวอย่างที่นำมาทำการวิเคราะห์นั้นไม่จำเป็นต้องผ่านการเตรียมตัวอย่างซึ่ง เป็นการลดขั้นตอนการวิเคราะห์แบบเดิม ตัวยาสำคัญอะซิโทรมัยซิน, สารกลบรสขม Eudragit® E PO และสารผสมได้ถูกนำมาวิเคราะห์ตามคุณสมบัติเชิงเคมีของแข็ง ได้แก่ การตรวจสอบรูปร่าง ด้วยกล้องจุลทรรศน์, การตรวจวิเคราะห์ทางสเปคตรัม, การตรวจวัดทางอุณหภมิ และการตรวจ วิเคราะห์เลี้ยวเบนของรังสีเอ็กซ์ การประยุกต์ใช้ NIRs ในเทคโนโลยีการวิเคราะห์กระบวนการ เพื่อหาจุดยุติของสภาวะความเป็นเนื้อเดียวกันในการกลบรสขมของผงยาอะชิโทรมัยชินภายใต้ เครื่องผสม Erweka® AR400 ในรูปแบบการวิเคราะห์พหุตัวแปรเชิงคุณภาพ และเครื่องผสม PMS® MG15T ในรูปแบบการวิเคราะห์พหุตัวแปรเชิงปริมาณ โดยวัตถุประสงค์ของการศึกษา เป็นการพัฒนารูปแบบการวิเคราะห์พหฺตัวแปรทั้งเชิงคุณภาพและเชิงปริมาณโดยใช้หลักการ ทางเคโมเมตริก นอกจากนี้เพื่อศึกษาถึงการประยุกต์ใช้เทคโนโลยีการวิเคราะห์กระบวนการด้วย สำหรับตรวจติดตามกระบวนการกลบรสขมของผงยาดังกล่าวเพื่อประเมินจุดยุติของ กระบวนการ ผลการศึกษาพบว่าสภาวะความเป็นเนื้อเดียวกันในการกลบรสขมด้วยการวิเคราะห์ ทางเคโมเมตริกซ์จากการวิเคราะห์ส่วนประกอบสำคัญ (PCA) ที่ระยะเวลา 20-30 นาทีและ สัดส่วนเชิงของแข็งของสารกลบรสขมและตัวยาสำคัญในอัตราส่วน 0.4:1 เป็นจดยติที่มีความ เหมาะสมของสภาวะความเป็นเนื้อเดียวของสารผสมสุดท้ายที่ได้ นอกจากนี้ในการศึกษาด้วยการ วิเคราะห์เชิงปริมาณจากตัวแบบเส้นทางกำลังสองน้อยที่สุดบางส่วน (PLS) ความสัมพันธ์ของตัวแปร x และ y เป็นเชิงเส้นตรงทั้งในการตรวจวิเคราะห์เชิงการสอบเทียบและ การตรวจสอบความถูกต้อง สามารถใช้อธิบายจุดยุติเชิงปริมาณของการกลบรสขมของผงยาอะซิ-โทรมัยชินได้สอดคล้องกันกับการวิเคราะห์เชิงปริมาณแบบปฐมภูมิจาก HPLC ซึ่งเป็นการพิสูจน์ ถึงความสามารถของ NIRs และการตรวจติดตามแบบเวลาจริงได้อย่างเหมาะสมในการนำมาตรวจ ติดตามและวิเคราะห์กระบวนการกลบรสขมของผงยาอะชิโทรมัยชินเพื่อต่อยอดไปยังการพัฒนา เป็นผงยาสำหรับเตรียมเป็นยาน้ำแขวนตะกอนต่อไป

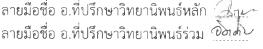
ภาควิชา วิทยาการเภสัชกรรมและเภสัช

อตสาหกรรม

สาขาวิชา เภสัชอุตสาหกรรม

ปีการศึกษา 2556

ลายมือชื่อนิสิต สัตุก เก ลายมือชื่อ อ.ที่ปรึกษาวิทยานิพนธ์หลัก 🖳





5476208633 : MAJOR INDUSTRIAL PHARMACY

KEYWORDS: NEAR INFRARED SPECTROSCOPY / PROCESS ANALYTICAL TECHNOLOGY / TASTE MASKED AZITHROMYCIN / PRINCIPAL COMPONENT ANALYSIS / PARTIAL LEAST SQUARE REGRESSION / CHEMOMETRICS

> TEERAWUT CHOMCHOEY: APPLICATION OF PROCESS ANALYTICAL TECHNOLOGY IN THE PREPARATION OF TASTE-MASKED AZITHROMYCIN DRY POWDER. ADVISOR: NARUEPORN SUTANTHAVIBUL, Ph.D., CO-ADVISOR: JITTIMA CHATCHAWALSAISIN, Ph.D., 99 pp.

One of the most widespread Process Analytical Technology (PAT) tool is Near-Infrared (NIR) spectroscopy, which is a fast and non-invasive analytical technique with no sample preparation necessary. Azithromycin, Eudragit® E PO and their physical mixtures were initially characterized by microscopic, spectroscopic, thermal and powder X-ray analyses. PAT using NIRs was developed to qualitatively monitor the homogeneity end-point in taste masking of azithromycin powder during blending in Erweka® AR400 Universal Lab mixer. A quantitative model in PMS® MG15T mixer was also constructed. For these purposes, fiber optic probe NIRs diode array spectrometer with fast data acquisition was selected. The results show well-defined clusters differentiating the homogeneous and non-homogeneous states. The homogeneity state of the tastemasked blending process was detected by Principal Component Analysis (PCA). The results were evaluated by chemometric analysis which results in the optimum solid ratios of Eudragit® E PO to azithromycin and blending time of 0.4:1 and 20-30 minutes, respectively. Partial Least Square (PLS) regression models based on the NIRs data and HPLC data were calibrated and validated. From this study, NIR spectroscopy is proven to be a suitable PAT tool for the real-time endpoint monitoring for blend homogeneity and taste masking process. Additionally, this study provides useful information to improve and verify the quality of pharmaceutical dosage forms such as dry powder for suspensions.

Department: Pharmaceutics and

Industrial Pharmacy

Field of Study: Industrial Pharmacy

Academic Year: 2013

Student's Signature Serswut Chewelvern
Advisor's Signature

Co-Advisor's Signature 2. Chatchawalsai

ACKNOWLEDGEMENTS

This thesis was successfully achieved through the cooperation of many individuals. I am heartily thankful to my advisor, Dr. Narueporn Sutanthavibul for her valuable advices, creative guidance, encouragement, valuable comments and support given throughout my time in graduate school. These were key elements for me to achieve this project.

I am also indebted to my co-advisor, Dr. Jittima Chatchawalsaisin for her kind assistance, helpful consultation and everlasting support.

I also wish to express deep appreciation to all members of the thesis committee for spending their times to be on my thesis committee and for their suggestion and comments. I have listened very carefully to every piece of advice and encouraging comment from them and absorbed all of the information I have received from them.

I would like to express my infinite thanks and deepest gratitude to all staffs in the Department of Pharmaceutics and Industrial Pharmacy for their assistance and encouragement. I am really thankful to my seniors and my friends for their friendship, consultation, guidance, suggestion, helpful thoughts and kindness.

This research was financially supported by the Thailand Research Fund – Master Research Grants (TRF-MAG; MRG555S102) in collaboration with T.O. Chemicals (1979) Ltd.

Lastly, I would also like to thank my family and closest friends for their assistance, creating an environment and motivating me throughout this work and for helping me to become the person I am today.



CONTENTS

Page	e
THAI ABSTRACTiv	
ENGLISH ABSTRACTv	
ACKNOWLEDGEMENTS	
CONTENTSvii	
LIST OF TABLESxi	
LIST OF FIGURESxii	
LIST OF ABBREVIATIONSxv	
Chapter I1	
INTRODUCTION1	
Objectives of the present study4	
CHAPTER II	
LITERATURE REVIEW5	
1. THE MODEL DRUG5	
2. TASTE MASKING AGENT8	
3. TASTE MASKING TECHNOLOGIES	
4. PROCESS ANALYTICAL TECHNOLOGY (PAT)	
5. NEAR-INFRARED SPECTROSCOPY (NIRs)	
5.1 Spectral region of near infrared radiation14	
5.2 Spectral region of near infrared radiation15	
5.3 Vibrations	
5.4 Fourier-transform spectrophotometer (Michelson interferometer)19	
5.5 Acquisition of spectral data20	
6. CHEMOMETRIC23	
6.1 Signal pretreatment examples24	
6.2 Classification method example27	
6.3 Multivariate regression method example29	
CHAPTER III	



			Page
		METHODS	
Materi	ials		31
Instrui	ments		31
Experi	mental m	nethods	32
1.	Taste	e-masked azithromycin dry powder preparation	32
2.	Physicoc	hemical Characterization	35
	2.1 Po	owder X-ray Diffractometry (PXRD)	35
	2.2 Pc	olarized light microscopy	36
	2.3 D	ifferential Scanning Calorimetry (DSC)	36
	2.4 TI	hermo Gravimetric Analysis (TGA)	36
	2.5 Fc	ourier Transform Infrared spectroscopy (FT-IR)	36
	2.6 N	ear-Infrared spectroscopy (NIRs)	37
3.	Process A	Analytical Technology (PAT) of at-line applications in tas	te-masked
	azithr	romycin dry powder preparation	37
	3.1 Q	ualitative analysis	37
		3.1.1 Primary method	38
		3.1.2 Secondary method (Principal Component Analy	'sis: PCA)38
	3.2 Q	Quantitative analysis	39
		3.2.1 Primary method	39
		3.2.2 Secondary method (Partial Least Squares regres	sion: PLS)42
	3.3	Critical sampling points evaluation	43
4.	In vitro e	evaluation of taste-masked azithromycin dry powder	44
Chapter	IV		45
RESULTS	S AND DISC	CUSSION	45
1. Tas	te-masked	d azithromycin dry powder preparation	45
1.	1 Blendin	g in Erweka® AR400 Universal Lab Mixer	45
1.	2 Blendin	g in PMS [®] MG15T high speed mixer	46
2. Phy	sicochem	ical characterization	47

	Dog
2.1 Powder X-ray Diffractometry (PXRD)	Pag 47
2.2 Polarized light microscopy	
2.3 Differential Scanning Calorimetry (DSC)	
2.4 Thermo Gravimetric Analysis (TGA)	50
2.5 Fourier Transform Infrared spectroscopy (FT-IR)	53
2.6 Near-infrared spectroscopy (NIRs)	55
3. Process Analytical Technology (PAT) of at-line applications in taste-masked azithromycin dry powder blending process	56
3.1. Qualitative analysis	56
3.1.1 Primary method	57
3.1.2 Secondary method (Principal Component Analysis: PCA)	57
3.2 Quantitative analysis	61
3.2.1 Primary method	61
3.2.2 Secondary method (Partial Least Squares regression: PLS)	64
3.3 Critical sampling points evaluation	71
4. In Vitro of taste-masking azithromycin powder evaluation	75
Chapter V	78
CONCLUSIONS	78
APPENDICES	80
APPENDIX A	81
APPENDIX B	82
APPENDIX C	86
REFERENCES	87
VITA	99

LIST OF TABLES

Table 1 Summary of the process settings for the continuous blending trials of taste-
masked azithromycin powder by using Erweka® AR400 Universal Lab Mixer33
Table 2 Summary of the process settings for the continuous blending trials of taste-
masked azithromycin powder by using PMS $^{ ext{@}}$ MG15T mixer34
Table 3 Conclusion of at-line PAT in taste-masked blending process analysis43
Table 4 The proportion of AZD, in average percentage, of each of mixture from each
cycle with their standard deviations (SD) and %RSD during taste masking process
using PMS [®] MG15T high speed mixer62
Table 5 Development of statistical model by partial least square: PLS70
Table 6 Comparison of AZD concentration in each products for in vitro taste-masking
evaluation
Table 7 Comparison of AZD concentration products for in vitro taste-masking
evaluation for three consecutive days77
Table 8 Intra and inter-day variations for the HPLC method for determination of
azithromycin dihydrate84
Table 9 Accuracy/recovery of the proposed method84
Table 10 The proportion amount percentage of Azithromycin dihydrate in mixture of
AZD and EPO in PMS® MG15T high speed mixer85



LIST OF FIGURES

igure 1 Chemical structure of azithromycin dihydrate
igure 2 General diagram of taste receptor function
igure 3 Chemical structure of Eudragit [®] E PO
igure 4 General taste masking principles (Douroumis 2007)1
igure 5 Scheme of a process analytical technology (PAT)
igure 6 Electromagnetic wavelength1
igure 7 Symmetric and asymmetric stretching vibrations1
igure 8 Types of bending vibrations1
igure 9 Schematic representation of harmonic (A) and anharmonic1
igure 10 Schematic of the Michelson interferometer2
igure 11 Schematic of measuring mode for (a) Transmission (b) Diffuse reflection on
solid samples and (c) Transflection. (Pasquini 2003)2
igure 12 Spectra of moving pharmaceutical pellets with different API contents:
comparison between NIRs spectra (a) before and (b) after MSC signal
pretreatment (Mantanus 2012)2
igure 13 Spectra of moving pharmaceutical pellets with different API contents:
comparison between NIRs spectra (a) before and (b) after SNV signal
pretreatment (Mantanus 2012)2
igure 14 Comparison between NIRs spectra: Caffeine granules in polyethylene bag
(red) and caffeine powder in polyethylene bag (green) (a) before and (b) after
first derivative signal pretreatment. The Savitsky-Golay smoothing filter is applied
before the first derivative signal pretreatment. The smoothing filter polynomial
order is 2 and the filter width is 25 corresponding to 96.25 cm (Mantanus 2012)
2
igure 15 Geometric principle of PCA transformation2
igure 16 Schematic illustration of the blending chamber in Erweka® AR400 Universa
Lab Mixer. Measurement positions using NIRs fiber optic probe are indicated by
numeric symbols3



Figure 17 Schematic illustration of the blending chamber in PMS MG15T high speed
mixer. Measurement positions using NIRs fiber optic probe are indicated by
numeric symbols34
Figure 18 X-ray diffraction patterns for azithromycin dihydrate (blue), Eudragit [®] E PO
(green) and final mixture of Eudragit $^{^{\otimes}}$ EPO and AZD in solid ratio of 0.4:1 (red)47
Figure 19 Polarized light photomicrographs of (a) azithromycin dihydrate (AZD), (b)
Eudragit $^{\circ}$ E PO (EPO), (c) final mixture of EPO and AZD in solid ratio of 0.4:148
Figure 20 DSC thermograms of AZD (black), EPO (red) and final mixture of EPO and
AZD in solid ratio of 0.4:1 (blue)50
Figure 21 TGA thermogram of azithromycin dihydrate (AZD)51
Figure 22 TGA thermogram of Eudragit [®] E PO (EPO)51
Figure 23 TGA thermograms of final mixture of Eudragit® E PO and AZD in solid ratio
of 0.4:1 before and after drying52
Figure 24 FT-IR spectra of AZD (purple), EPO (red) and final mixture of EPO and AZD
in solid ratio of 0.4:1 (blue)53
Figure 25 NIRs absorbance spectra for samples of AZD (red line), EPO (light green line)
and final mixtures of AZD and EPO (other lines)55
Figure 26 NIRs absorbance for mixtures of AZD and Eudragit® E PO spectral
transformation from (a) conventional spectra to (b) the first derivative filtering
pretreatment58
Figure 27 Principal Component Analysis (PCA) for (a) Eudragit® E PO used in AZD dry
powder preparations from 0.1 to 0.4 and (b) blending time from premixing (PM)
time to 30 minutes (M30)59
Figure 28 The average percent AZD amounts analyzed during 20 run cycles when
mixed with Eudragit [®] E PO by PMS [®] MG15T63
Figure 29 The percent relative standard deviation indicating homogeneity states of 20
run cycles mixing by PMS [®] MG15T63
Figure 30 The linear regression model for non-pretreated NIRs calibration and
validation spectra65
Figure 31 The linear regression model for NIRs calibration and validation by first
derivative pretreatment66

Figure 32 The linear regression model for NIRs calibration and validation by first	
derivative pretreatment with Savitzky-Golay filter	66
Figure 33 The linear regression model for NIRs calibration and validation by first	
derivative pretreatment with Norris derivative filter.	67
Figure 34 The linear regression model for NIRs calibration and validation by	
secondary derivative pretreatment with Savitsky-Golay filter.	68
Figure 35 The linear regression model for NIRs calibration and validation by	
secondary derivative pretreatment with Norris derivative filter	68
Figure 36 Discriminant distance for sampling points of Eudragit® E PO and AZD sol	lid
ratio of 0.1:1 in Erweka® AR400 Universal Lab Mixer	
Figure 37 Discriminant distance for sampling points of Eudragit® E PO and AZD sol	lid
ratio of 0.2:1 in Erweka® AR400 Universal Lab Mixer	
Figure 38 Discriminant distance for sampling points of Eudragit [®] E PO and AZD sol	lid
ratio of 0.3:1 in Erweka [®] AR400 Universal Lab Mixer	73
Figure 39 Discriminant distance for sampling points of Eudragit [®] E PO and AZD sol	lid
ratio of 0.4:1 in Erweka® AR400 Universal Lab Mixer	72
Figure 40 Discriminant distance of sampling points for mixture of Eudragit® E PO a	ind
AZD in solid ratio of 0.4:1 by PMS [®] MG15T high speed mixer	74
Figure 41 Group frequency and fingerprint regions of the mid-infrared spectrum	8
Figure 42 Group frequency and fingerprint regions of the near-infrared spectrum	8
Figure 43 HPLC chromatogram of azithromycin dihydrate (model drug) at waveler	ngth
210 nm	82
Figure 44 Linearity plot for azithromycin dihydrate drug substance	83
Figure 45 UV peak curve of azithromycin dihydrate	86
Figure 46 Standard calibration curve for azithromycin dihydrate concentration and	Ł
UV-absorbance at 213 nm.	86

LIST OF ABBREVIATIONS

PAT process analytical technology

PAC process analytical chemistry

the international conference on harmonization

QbD quality by design

NIR near infrared spectroscopy

FT-IR fourier transformed infrared spectroscopy

PCA principal component analysis

PLS partial least square

DSC differential scanning calorimetry

TGA thermo gravimetric analysis

AZD azithromycin dihydrate

EPO Eudragit® E PO

RTR real time release

PXRD powder X-ray diffractometry

CQA critical quality attributed

MSC multiplicative scatter correction

SNV standard normale variate

HPLC high performance liquid chromatography

API active pharmaceutical ingredient

RMSEC root mean square error of calibration

RMSEP root mean square error of prediction

RMSE root mean square error

R² coefficient of determination

